

06.3

## ДИФРАКЦИЯ СВЕТА НА ОБРАТНОЙ ОБЪЕМНОЙ СПИНОВОЙ ВОЛНЕ В ПЛЕНКЕ ИЖГ

А.В. А н ш а к о в, В.В. М а т ю ш е в,  
А.Н. С и г а е в, А.А. С т а ш к е в и ч

В работах [1, 2] были экспериментально исследованы коллинеарная и неколлинеарная дифракции света на прямых объемных спиновых волнах (ПОСВ), а также показана перспективность использования этого явления в устройствах оптикоэлектронной обработки информации. Однако особенно интересными для аналогичных применений представляются обратные объемные спиновые волны (ООСВ): с одной стороны, как объемные волны, они обладают достаточной широкополосностью, с другой стороны, от ПОСВ их выгодно отличает отсутствие размагничивающего фактора в касательно намагниченной пленке. Реально это означает, что при одних и тех же значениях магнитных полей устройства на ООСВ будут работать на частотах, как минимум на несколько гигагерц превышающих рабочие частоты устройств на ПОСВ.

В данной работе экспериментально реализована дифракция света ближнего ИК-диапазона на ООСВ в тонкой ферромагнитной пленке.

Для эксперимента была использована пленка иттрий-железного граната (ИЖГ) ориентации (111) толщиной 5.51 мкм, выращенная на подложке из гадолиний-галиевого граната. Параметр диссипации пленки составлял  $2\Delta H = 1.24$  Э. Возбуждение и прием ООСВ осуществлялись двумя антennами из золотой проволоки диаметром 30 мкм и длиной по 5 мм. Расстояние между антennами составляло 3 мм. Источником оптического излучения служил гелий-неоновый лазер с длиной волны 1.15 мкм. Для ввода и вывода света использовались призмы из  $SrTiO_3$ .

В ходе эксперимента в пленке ИЖГ возбуждалась оптическая волноводная мода (ОВМ)  $TE_i$  ( $i = 0, 1, 2$ ). Одновременно под углом  $\alpha = 45^\circ$  к направлению волнового вектора ОВМ распространялась ООСВ с частотой  $f_1 = 2.9$  ГГц или  $f_2 = 5.4$  ГГц. Такая геометрия взаимодействия света и ООСВ была выбрана по следующим соображениям. При „строгого“ неколлинеарной дифракции ( $\alpha = 90^\circ$ ) значения волновых чисел ООСВ, удовлетворяющие условию Брэгга, получаются неприемлемо большими, а коллинеарная геометрия взаимодействия ( $\alpha = 0^\circ$ ) запрещена [3]. За счет взаимодействия с ООСВ часть энергии ОВМ  $TE$  „перекачивалась“ в ОВМ  $TM_i$ , что регистрировалось с помощью поляроида и германиевого фотодиода, расположенных за выходной призмой. При этом использовалась стандартная техника синхронного детектирования. Для исследования взаимодействия осуществлялось изменение поля подмагничивания в широком диапазоне, перекрывающем область существования ООСВ.

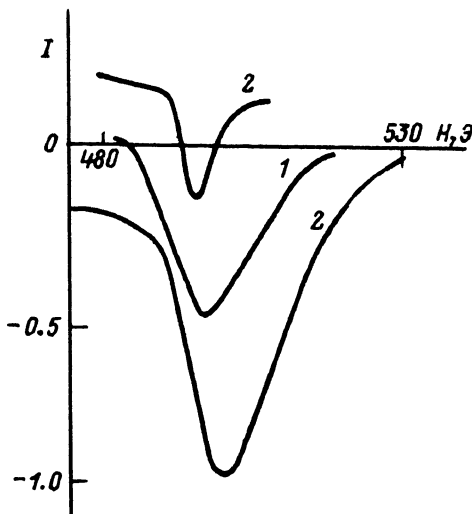


Рис. 1. Зависимости величины нормированного фототока  $I$  от значения внешнего поля подмагничивания  $H$  для дифракции  $TE_1-TM_1$ , измеренные при различных углах поворота оси поляроида  $\varphi$ :  $\varphi = 90^\circ$  (1),  $\varphi = 93^\circ$  (2),  $\varphi = 87^\circ$  (3). Частота СВЧ-колебания  $f_1 = 2.9$  ГГц.

Помимо дифракции света на ООСВ было обнаружено сильное „маскирующее“ рассеяние, обладающее специфической четырехлепестковой поляризационной характеристикой с максимумами под углами  $45^\circ$ ,  $135^\circ$ ,  $225^\circ$ ,  $315^\circ$  и существенно превышающее по амплитуде упомянутую дифракцию. Такой вид поляризационной характеристики свойственен рассеянию без допплеровского сдвига частот оптических сигналов, когда на нелинейном фотоприемном устройстве (фотодиоде) когерентно взаимодействуют рассеянный световой пучок и опорный недифрагированный. Источниками такого рассеяния могут быть изменения постоянной намагниченности пленки за счет нелинейности ООСВ [4] или модуляция диэлектрической проницаемости пленки за счет эффектов ее неоднородного разогрева в районе возбуждения и распространения ООСВ. Таким образом, вследствие различия поляризационных характеристик в случаях „полезной“ дифракции и „маскирующего“ рассеяния возникла необходимость отстройки от помех с помощью поляроида. На рис. 1 представлены зависимости величины фототока от значения внешнего поля подмагничивания для режима дифракции  $TE_1-TM_1$ , измеренные при различных положениях поляроида. Если угол поворота оси поляроида  $\varphi = 90^\circ$  (кривая 1), то „маскирующее“ рассеяние не пропускалось и наблюдался только сигнал от дифракции света на ООСВ. Пик сигнала соответствует выполнению условия Брэгга. При отклонении оси поляроида на величину  $4\varphi = \pm 3^\circ$  (кривые 2 и 3 соответственно) от положения  $\varphi = 90^\circ$  на „полезный“ сигнал накладывался „маскирующий“ фон.

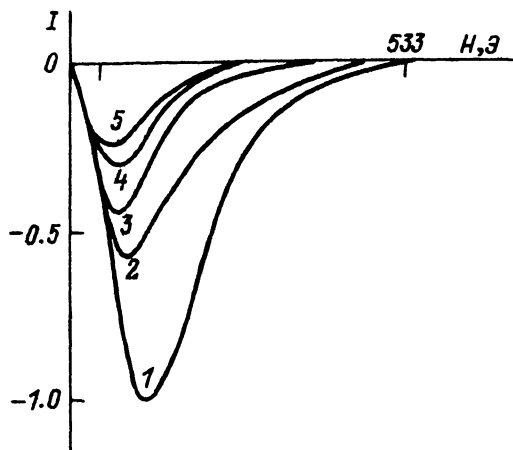


Рис. 2. Характерные изменения зависимости величины нормированного фототока  $I$  от значения внешнего поля подмагничивания  $H$  при варьировании мощностью СВЧ-сигнала  $P$ :  $P = 600$  мВт (1),  $P = 190$  мВт (2),  $P = 95$  мВт (3),  $P = 30$  мВт (4),  $P = 19$  мВт (5). Частота СВЧ-колебания  $f_s = 2.9$  ГГц, режим дифракции  $TE_{11}-TM_11$ , угол поворота оси поляроида  $\varphi = 90^\circ$ .

Знак этого фона принципиально зависит от того, в какую сторону от положения  $\varphi = 90^\circ$  смещена ось поляроида.

Нами наблюдалась характерные изменения зависимости фототока от величины поля подмагничивания при варьировании мощностью СВЧ-сигнала, подаваемого на возбуждающую ООСВ антенну. Результаты наблюдений представлены на рис. 2. Как и следовало ожидать, по мере увеличения мощности пик дифракции смещался в сторону больших магнитных полей. Этот эффект можно объяснить появлением дополнительного размагничивания вследствие нелинейности спин-системы. Интересно отметить, что в случае дифракции света на ПОСВ при увеличении СВЧ-мощности пик рассеяния смещался в противоположную сторону – в сторону меньших магнитных полей [1].

#### Список литературы

- [1] Сташкевич А.А., Калиников Б.А., Ковшиков Н.Г. и др. // Письма в ЖТФ. 1987. Т. 13. В. 1. С. 49–53.
- [2] Сигаев А.Н., Сташкевич А.А. // Письма в ЖТФ. 1988. Т. 14. В. 5. С. 469–472.
- [3] Сташкевич А.А. // Изв. вузов. Физика. 1989. Т. 32. № 4. С. 5–31.

Поступило в Редакцию  
28 августа 1989 г.

Письма в ЖТФ, том 15, вып. 23

12 декабря 1989 г.

04; 11

О МЕХАНИЗМЕ ФЛУКТУАЦИЙ ПРЕДПРОБОЙНЫХ ТОКОВ  
В ВАКУУМНЫХ ПРОМЕЖУТКАХ  
С ПЛОСКОПАРАЛЛЕЛЬНЫМИ МЕТАЛЛИЧЕСКИМИ  
ЭЛЕКТРОДАМИ

С.В. Пузанов, В.А. Хара,  
Ю.М. Яшинов

1. Известно, что предпробойные токи вакуумных промежутков, имеющие в основном автоэмиссионную природу [1], не постоянны во времени, а флуктуируют с частотами до 1 МГц. Вопрос о механизме этих флуктуаций имеет научный и практический интерес для исследований электрической прочности вакуумных промежутков электровакуумных приборов. Прямое оптическое или электронно-микроскопическое наблюдение в зазорах с плоскими металлическими электродами эмиттирующих микроавтоэмиттеров с характерными размерами эмиттирующих поверхностей менее 0.1 мкм не представляется возможным, поэтому для экспериментальных исследований процессов на поверхности электродов необходимо применять косвенные методы.

В данной работе впервые для плоскопараллельных вакуумных промежутков с металлическими электродами сделана попытка с помощью спектральных характеристик флуктуаций предпробойных токов выделить основные механизмы этих флуктуаций.

2. При постановке эксперимента руководствовались следующими соображениями.

Найдем зависимость спектральной плотности мощности флуктуаций предпробойных токов  $G_f$  на данной частоте  $f$  от среднего значения предпробойного тока  $I_0$ . Раскладывая в ряд Тейлора формулу Фаулера-Нордгейма [1] для малых относительных флуктуаций предпробойного тока  $\Delta I/I_0$ , получаем:

$$\frac{\Delta I}{I_0} = \frac{\Delta S}{S_0} + \left( 2 + \frac{B_0 \varphi_0^{3/2}}{E_0 \mu_0} \right) \frac{\Delta M}{M_0} - \left( 1 + \frac{9.5}{2\sqrt{\varphi_0}} + \frac{3}{2} \frac{B_0 \varphi_0^{3/2}}{E_0 \mu_0} \right) \frac{\Delta \varphi}{\varphi_0}, \quad (1)$$